

САНКТ-ПЕТЕРБУРГСКИЙ НАЦИОНАЛЬНЫЙ ИССЛЕДОВАТЕЛЬСКИЙ  
УНИВЕРСИТЕТ ИНФОРМАЦИОННЫХ ТЕХНОЛОГИЙ, МЕХАНИКИ И  
ОПТИКИ

Факультет систем управления и робототехники

Отчёт по лабораторной работе №1  
«Моделирование и устойчивость»  
по дисциплине  
«Дискретные системы управления»  
Вариант 9

Выполнили: студенты потока 1.2

Дюжев В. Д.  
Лалаянц К. А.

Преподаватель:

*Краснов А.Ю.*

# ОГЛАВЛЕНИЕ

<b>Цель работы</b>	<b>1</b>
<b>Теоретическая часть</b>	<b>1</b>
1    Дискретизация . . . . .	1
2    Построение линейных дискретных генераторов внешних воз- действий . . . . .	2
3    Устойчивость дискретных систем . . . . .	4
<b>Экспериментальная часть</b>	<b>5</b>
1    Исследование влияния дискретного элемента на непрерыв- ную систему . . . . .	5
2    Исследование устойчивости дискретных систем . . . . .	8
3    Построение дискретных командных генераторов . . . . .	12
<b>Выводы</b>	<b>14</b>

## Цель работы

Ознакомиться с методами синтеза и анализа дискретных систем. Получить опыт построения регуляторов и генераторов внешних воздействий для дискретных систем.

## Теоретическая часть

### Дискретизация

В ходе работы мы будем использовать модели дискретных элементов (при непрерывном изменении входной переменной выходная переменная изменяется только в дискретные моменты времени). В частности таким является экстраполятор нулевого порядка, задающийся уравнением 1.

$$\begin{cases} x_2(t) = x_1(mT) \\ t = mT + \tau \\ 0 \leq \tau \leq T \end{cases} \quad (1)$$

, где  $x_1$  — непрерывный входной сигнал,  $x_2$  — дискретный выходной сигнал,  $T$  — интервал дискретности,  $m \in \mathbb{Z}_+$ . Экстраполятор нулевого порядка (zero order hold, далее — ЗОН) является частным случаем импульсного элемента.

Для преобразования непрерывной системы в дискретный вид рассмотрим последовательное соединение ЗОН и непрерывной линейной системы (НЛС). Полученная система задается уравнениями 2.

$$\begin{cases} \dot{x} = A_c x + B_c \varepsilon \\ y = Cx \\ \varepsilon(mT + \tau) = u(mT), 0 \leq \tau \leq T \end{cases} \quad (2)$$

Рассмотрим значения системы 2 в дискретные моменты времени  $t = Tm$ . Запишем решение ОДУ в виде свертки:

$$x((m+1)T) = e^{A_c T} x(mT) + \int_{mT}^{(m+1)T} e^{A_c((m+1)T-\theta)} B_c \varepsilon(\theta) d\theta$$

Сделав замену  $\theta = mT + \tau$ ,  $0 \leq \tau \leq T$  и заметив, что  $\varepsilon(mT + \tau) = \varepsilon(mT)$  перепишем уравнение выше:

$$x((m+1)T) = e^{A_c T} x(mT) + \int_0^T e^{A_c(T-\tau)} d\tau B_c \varepsilon(mT)$$

Вычислим значение интеграла:

$$\begin{aligned} \int_0^T e^{A_c(T-\tau)} d\tau &= e^{A_c T} \int_0^T e^{-A_c \tau} d\tau = e^{A_c T} A_c^{-1} (I - e^{-A_c T}) = A_c^{-1} (e^{A_c T} - I) = \\ &= A_c^{-1} \sum_{i=0}^{\infty} \left( \frac{A_c^i T^i}{i!} - I \right) = A_c^{-1} \left( I + \sum_{i=1}^{\infty} \frac{A_c^i T^i}{i!} - I \right) = \sum_{i=1}^{\infty} \frac{A_c^{i-1} T^i}{i!}. \end{aligned}$$

Таким образом, подставив выражение для интеграла, можем записать:

$$x((m+1)T) = Ax(mT) + B\varepsilon(mT) \quad (3)$$

$$, \text{ где } A = e^{A_c T} = \sum_{i=0}^{\infty} \frac{A_c^i T^i}{i!}, \quad B = \sum_{i=1}^{\infty} \frac{A_c^{i-1} T^i}{i!} B_c.$$

Рекурсивно подставляя выражения для  $x$  в 3, получим аналитическое выражение состояния дискретной системы:

$$x(mT) = A^m x(0) + \sum_{i=0}^{m-1} A^i B u(iT) \quad (4)$$

## Построение линейных дискретных генераторов внешних воздействий

Рассмотрим построение дискретных моделей генераторов внешних возмущений  $g(k)$ .

### Метод разностей

Основным методом построения дискретных моделей внешних возмущений является последовательное взятие разностей. Рассмотрим его на примере из задания 3(а):

$$g(k) = A_g \sin(kT\omega) \quad (5)$$

За первую компоненту вектора состояний возьмем сам сигнал  $\xi_1(k) = g(k)$ .

Выразим  $g(k+1)$  на основе 5:

$$\xi_2(k) = \xi_1(k+1) = g(k+1) = A_g \sin(kT\omega) \cos(T\omega) + A_g \sin(T\omega) \cos(kT\omega) \quad (6)$$

Заметим, что  $A_g \sin(kT\omega) \cos(T\omega) = g(k) \cos(\omega T)$ .

Выразим  $g(k+2)$  на основе 6:

$$\xi_2(k+1) = g(k+2) = g(k+1) \cos(\omega T) + A_g \sin(T\omega) \cos((k+1)T\omega) \quad (7)$$

Заметим:

$$A_g \sin(T\omega) \cos((k+1)T\omega) = A_g \sin(T\omega) (\cos(kT\omega) \cos(T\omega) - \sin(kT\omega) \sin(T\omega))$$

Подставив  $A_g \sin(T\omega) \cos(kT\omega) = g(k+1) - g(k) \cos(\omega T)$  из 6 и выражение  $g(k)$  из 5 получим:

$$A_g \sin(T\omega) \cos((k+1)T\omega) = g(k+1) \cos(\omega T) - g(k) \cos^2(\omega T) - g(k) \sin^2(\omega T)$$

Подставив полученный результат в 7:

$$\xi_2(k+1) = 2 \cos(\omega T) \xi_2(k) - \xi_1(k) \quad (8)$$

Итого, получаем дискретную модель внешнего возмущения 5:

$$\begin{cases} \xi(k+1) = \Gamma \xi(k), \Gamma = \begin{bmatrix} 0 & 1 \\ -1 & 2 \cos(\omega T) \end{bmatrix} \\ g(k) = H \xi, H = \begin{bmatrix} 1 & 0 \end{bmatrix} \\ \xi(0) = \begin{bmatrix} 0 & A_g \sin(T\omega) \end{bmatrix}^T \end{cases} \quad (9)$$

### Непрерывный аналог

Возможно также построить непрерывный аналог модели  $g_c : g_c(kT) = g(k)$  предполагаемого генератора и дискретизировать систему согласно уравнениям 2-3:

$$\begin{cases} g_c = C_g \xi_c \\ \dot{\xi}_c = \Gamma_c \xi_c \\ \xi(k+1) = \Gamma \xi(k) \\ g(k) = H \xi(k) = H \Gamma^k \xi(0) \end{cases} \quad (10)$$

Рассмотрим его на примере из задания 3(с):

$$g(k) = e^{-5kT} \sin(6kT + 2.5) + 0.03kT \quad (11)$$

Непрерывным аналогом данного сигнала является:  $g_c = e^{-5t} \sin(6t + 2.5) + 0.03t$ . Непрерывная система с такими модами может быть получена следующим образом:

$$\begin{cases} \dot{\xi}_c = \begin{bmatrix} -5 & 6 & 0 & 0 \\ -6 & -5 & 0 & 0 \\ 0 & 0 & 0 & 0 \\ 0 & 0 & 0 & 0 \end{bmatrix} \xi_c \\ g_c = \begin{bmatrix} 1 & 0 & 0.03 & 0 \end{bmatrix} \xi_c \\ \xi_c(0) = \begin{bmatrix} \sin(2.5) & \cos(2.5) & 0 & 1 \end{bmatrix}^T \end{cases} \quad (12)$$

Дискретизовав систему изложенным выше образом (3), можем задать дискретную систему в виде:

$$\begin{cases} \xi(k+1) = \Gamma\xi, \Gamma = \begin{bmatrix} 0.02027 & 0.2858 & 0 & 0 \\ -0.2858 & 0.02027 & 0 & 0 \\ 0 & 0 & 1 & 0.25 \\ 0 & 0 & 0 & 1 \end{bmatrix} \\ g(k) = H\xi, H = \begin{bmatrix} 1 & 0 & 0.03 & 0 \end{bmatrix} \\ \xi(0) = \begin{bmatrix} \sin(2.5) & \cos(2.5) & 0 & 1 \end{bmatrix}^T \end{cases} \quad (13)$$

## Устойчивость дискретных систем

Рассмотрим дискретную систему вида:

$$x(m+1) = F(x(m)) \quad (14)$$

где  $x$  —  $n$ -мерный вектор состояния,  $F$  —  $n$ -мерная нелинейная векторнозначная функция векторного аргумента такая, что при  $x = 0$   $F(0) = 0$ , и решение исходного разностного уравнения при произвольных начальных условиях единственно.

Будем называть систему асимптотически устойчивой, если:

$$\lim_{m \rightarrow \infty} \|x(m)\| = 0 \quad (15)$$

Будем называть систему экспоненциально устойчивой, если:

$$\|x(m)\| \leq \beta \alpha^m \|x(0)\|, \forall m \in \mathbb{Z}_+ \quad (16)$$

Для линейных систем применим корневой критерий устойчивости. Рассмотрим класс систем вида:

$$x(m+1) = Fx(m)$$

Перейдем в базис (матрицей перехода  $M$ ), в котором матрица  $F_g = M^{-1}FM$  — диагональна (предположим, что такой существует):

$$x = M\xi, \xi(m+1) = F_g\xi(m) \quad (17)$$

Тогда можем записать:

$$x(m) = M\xi(m) = MF_g^m\xi(0)$$

, что эквивалентно:

$$x_i(m) = \sum_{j=1}^n M_{ij} z_j^m \xi_j(0) \quad (18)$$

, где  $z_j$  — корни характеристического полинома  $F$ . Положив все корни вещественными (и не кратными), можно заметить, что если  $\forall z_j : |z_j| < 1$ , то выполнено условие 15 и система асимптотически устойчива. Если модуль хотя бы одного корня  $> 1$  — система неустойчива.

## Экспериментальная часть

### Исследование влияния дискретного элемента на непрерывную систему

Соберем схему согласно заданию ( $T = 0.2$ ,  $K_{CO} = 5.7$ ):

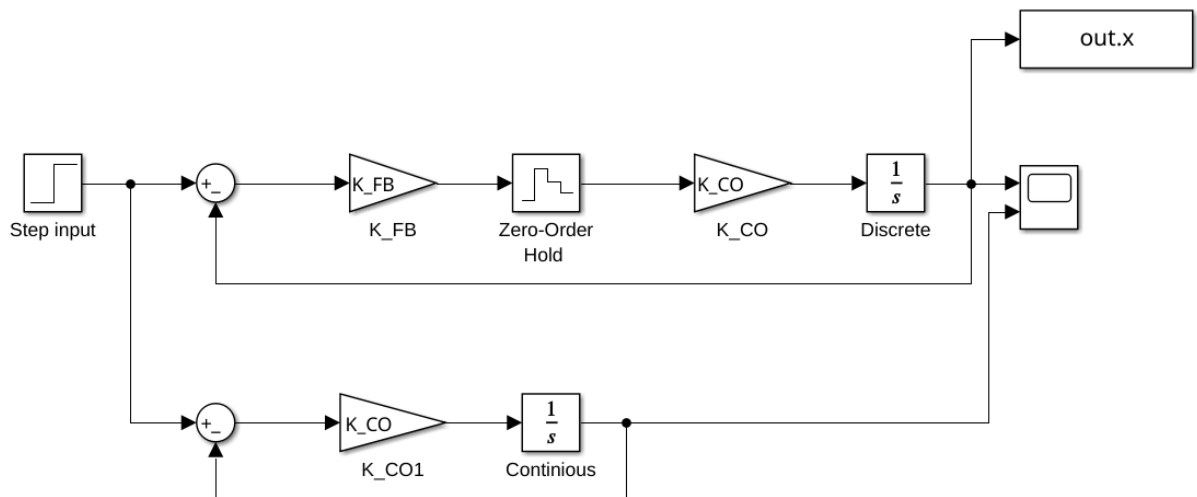


Рис. 1. Схема 1.

Обозначим состояние системы за  $x$ . Очевидно, что  $\dot{x} = 0$  возможно только в случаях  $K_{FB} = 0$  или  $x = 1$ . Первый случай соответствует нейтральной границе устойчивости, второй — устойчивому положению. Заметим также, что при  $K_{FB} > \frac{2}{TK_{CO}}$  система теряет устойчивость (изменение переменной за период дискретизации превышает текущее расстояние до устойчивого положения в два раза, что приводит к нарастанию сигнала). При  $K_{FB} = \frac{2}{TK_{CO}} = 1.754$  достигается колебательная граница устойчивости.

При  $K_{FB} > \frac{1}{TK_{CO}}$  система приобретает колебательность с периодом равным  $T$  (максимальная амплитуда — на колебательной границе устойчивости). При  $K_{FB} < \frac{1}{TK_{CO}}$  колебания отсутствуют (изменение сигнала за вре-

мя  $T$  всегда меньше текущего расстояния до устойчивого положения). При  $K_{FB} = \frac{1}{TK_{CO}} = 0.877$  наблюдается наискорейший переходный процесс (за конечное время  $T$ ).

Ниже приведены графики, демонстрирующие полученные свойства:

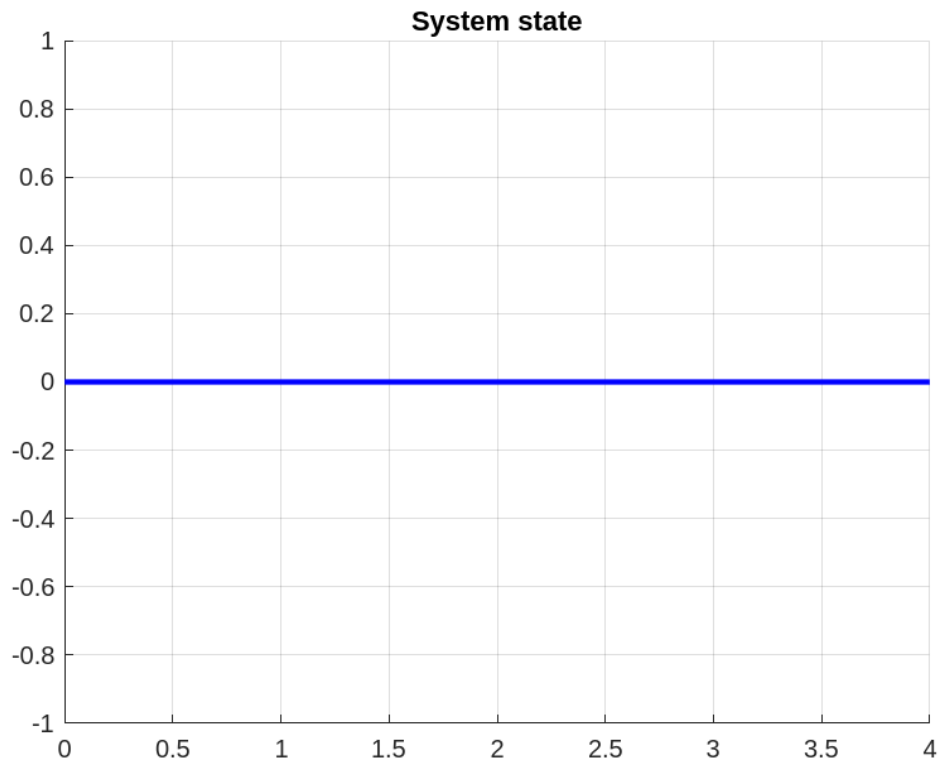


Рис. 2. Нейтральная граница устойчивости  $K_{FE} = 0$ .

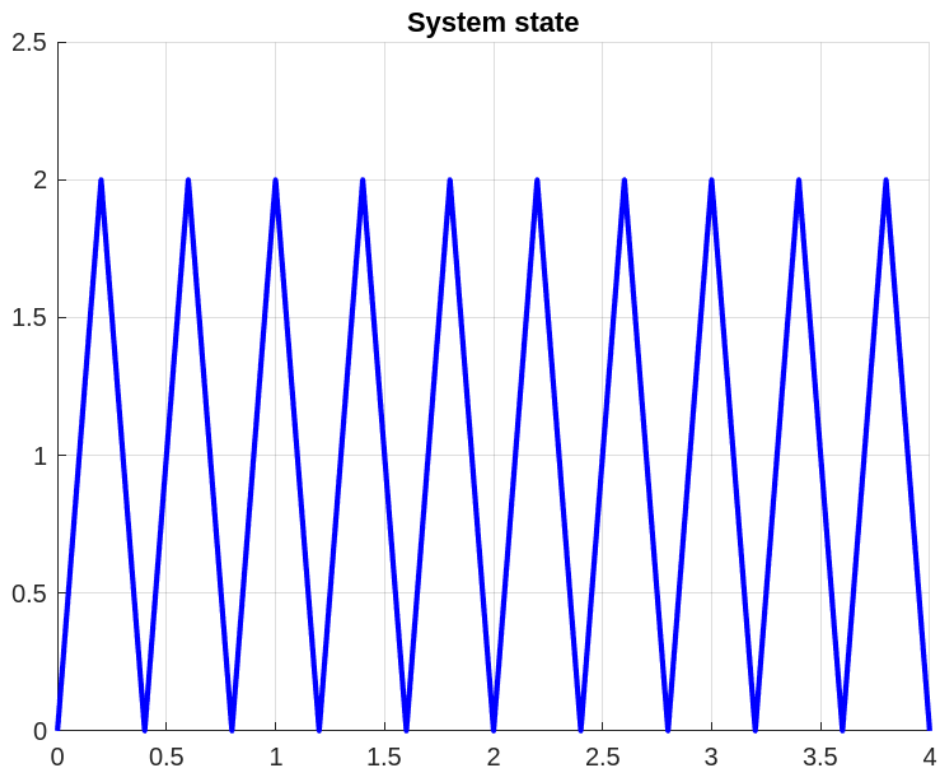


Рис. 3. Колебательная граница устойчивости  $K_{FE} = 1.754$ .



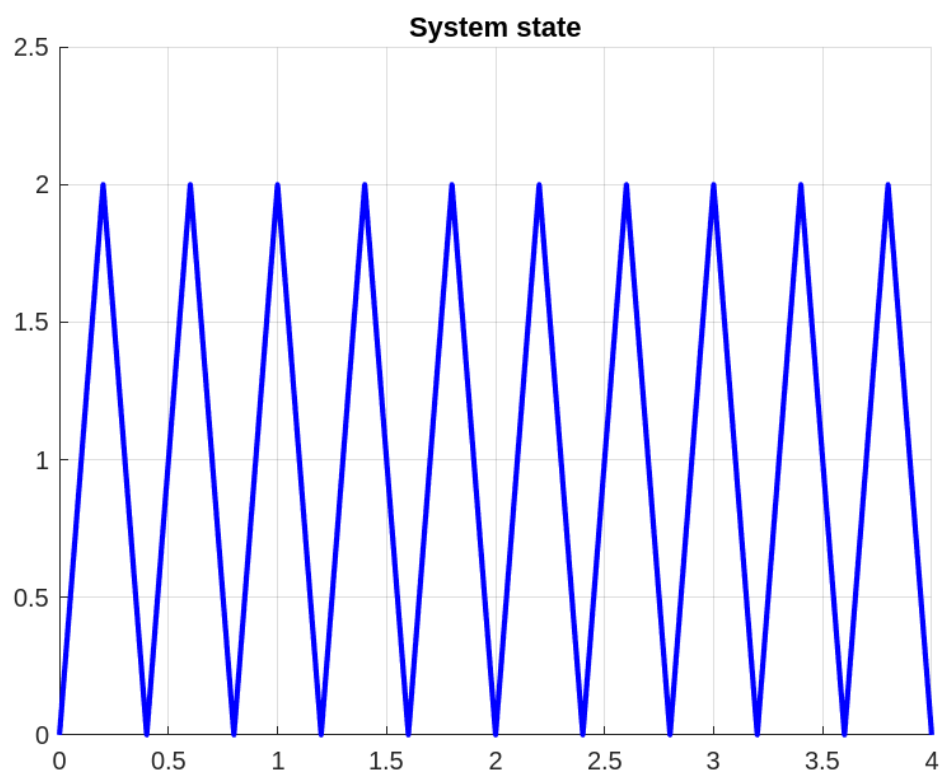


Рис. 4. Максимальная колебательность  $K_{FE} = 1.754$ .

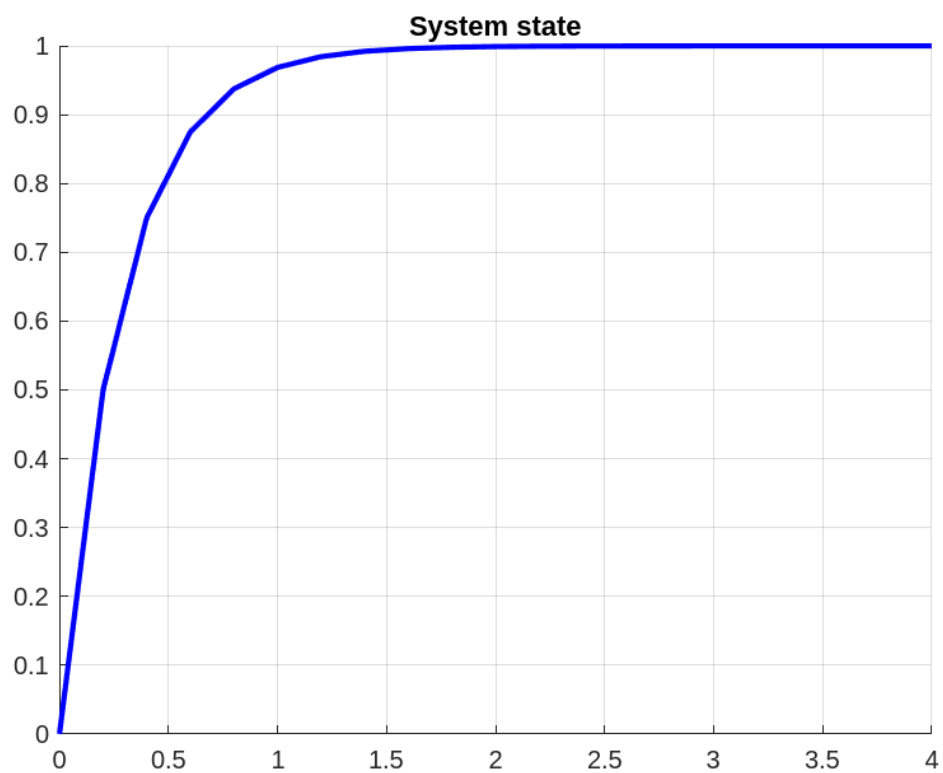


Рис. 5. Отсутствие колебаний  $K_{FE} < 0.877$ .

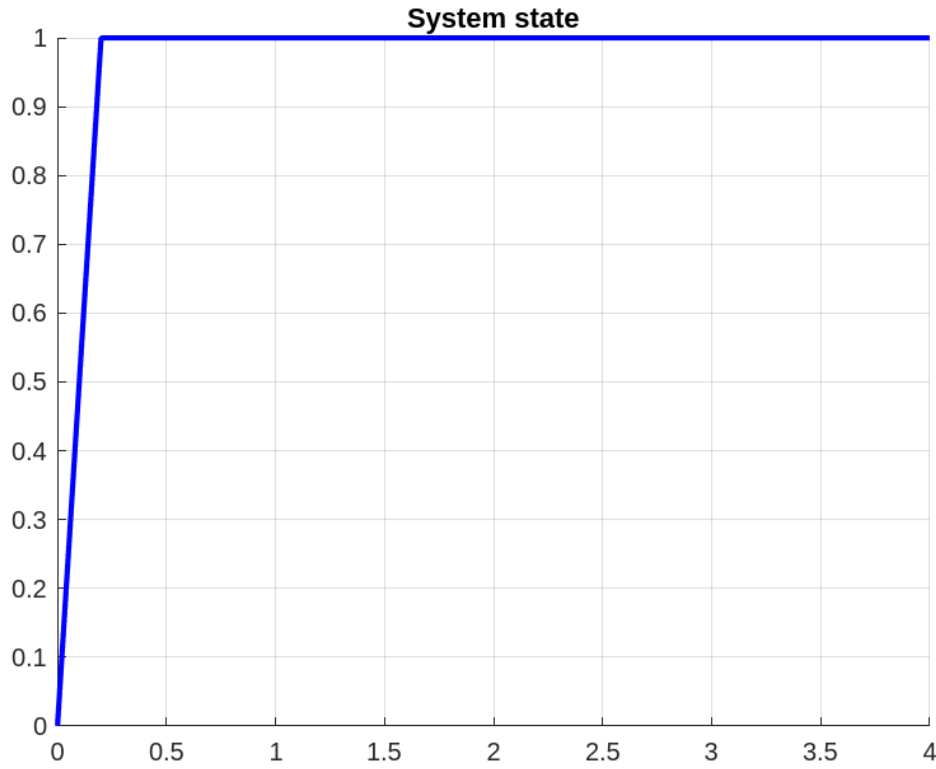


Рис. 6. Оптимальное время переходного процесса ( $T$ )  $K_{FE} = 0.877$ .

## Исследование устойчивости дискретных систем

Рассмотрим непрерывную систему  $\ddot{y} = u$ :

$$\begin{cases} \begin{bmatrix} \dot{x}_1 \\ \dot{x}_2 \end{bmatrix} = \begin{bmatrix} 0 & 1 \\ 0 & 0 \end{bmatrix} \begin{bmatrix} x_1 \\ x_2 \end{bmatrix} + \begin{bmatrix} 0 \\ 1 \end{bmatrix} u \\ y = \begin{bmatrix} 1 & 0 \end{bmatrix} \begin{bmatrix} x_1 \\ x_2 \end{bmatrix} \end{cases} \Rightarrow \begin{cases} \dot{x} = A_c x + B_c u \\ y = Cx \end{cases} \quad (19)$$

Воспользуемся выражениями 3 для дискретизации системы ( $T = 0.2$ ):

$$\begin{cases} x(m+1) = Ax(m) + Bu(m) \\ y(m) = Cx(m) \end{cases}, A = \begin{bmatrix} 1 & 0.2 \\ 0 & 1 \end{bmatrix}, B = \begin{bmatrix} 0.02 \\ 0.2 \end{bmatrix} \quad (20)$$

Задавшись сигналом управления  $u = -Kx$ , можем добиться требуемых собственных чисел матрицы динамики системы с помощью модального регулятора:

$$F = A - BK = \begin{bmatrix} 1 - 0.02k_1 & 0.2 - 0.02k_2 \\ -0.2k_1 & 1 - 0.2k_2 \end{bmatrix}. \quad (21)$$

Для всех предложенных наборов корней выполнено условие  $|z_i| < 1$  и все системы являются устойчивыми (что согласуется с корневым критерием, и также демонстрирует его применимость с комплексными корнями).

Схема моделирования:

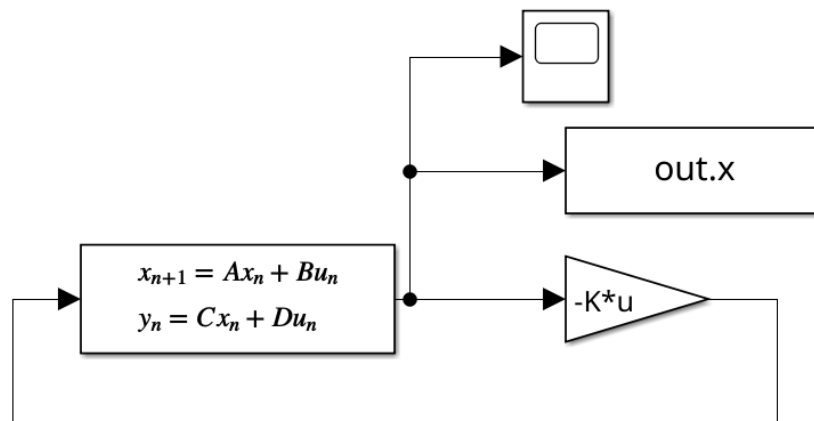


Рис. 7. Схема 2.

Результаты моделирования представлены ниже:

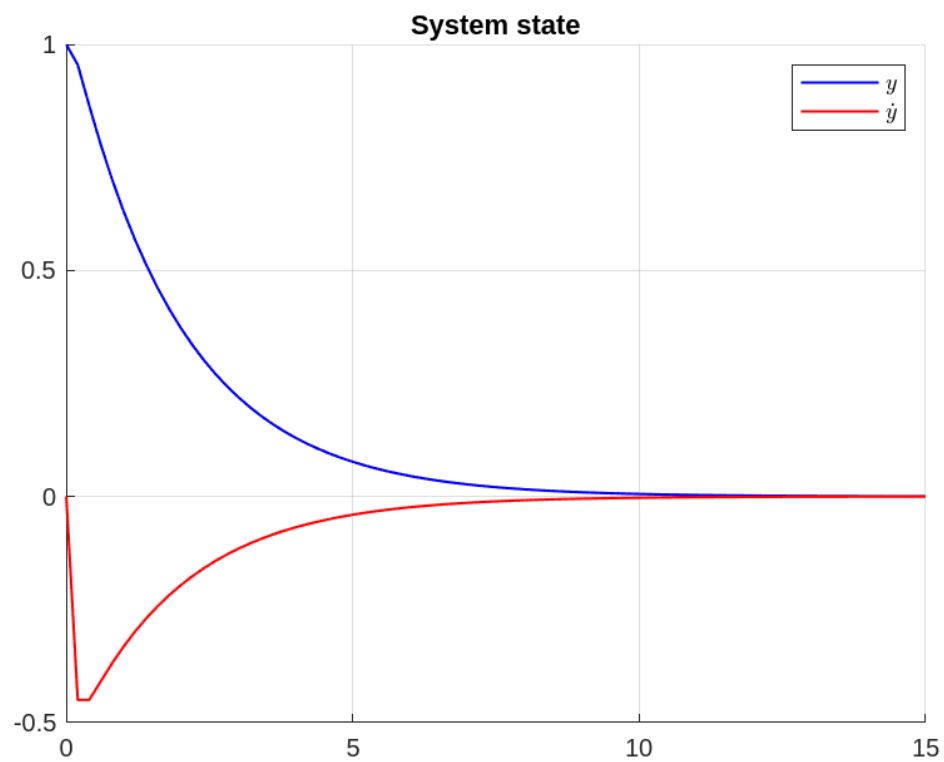


Рис. 8. Результат моделирования замкнутой системы ( $z_1 = 0.9, z_2 = 0.1$ ).

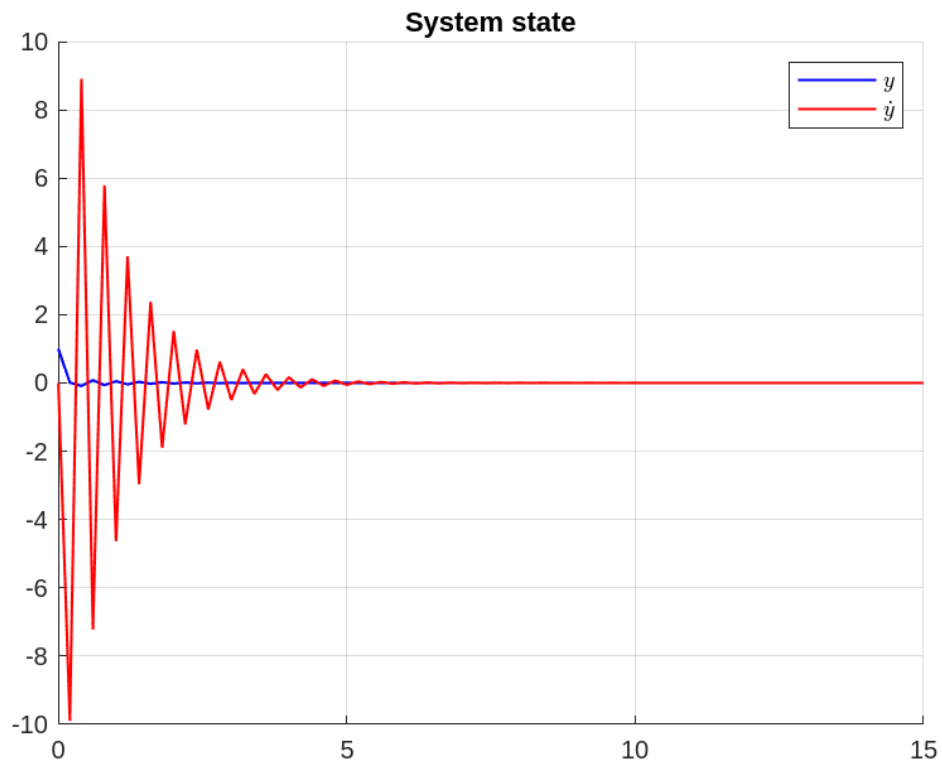


Рис. 9. Результат моделирования замкнутой системы ( $z_1 = -0.1, z_2 = -0.8$ ).

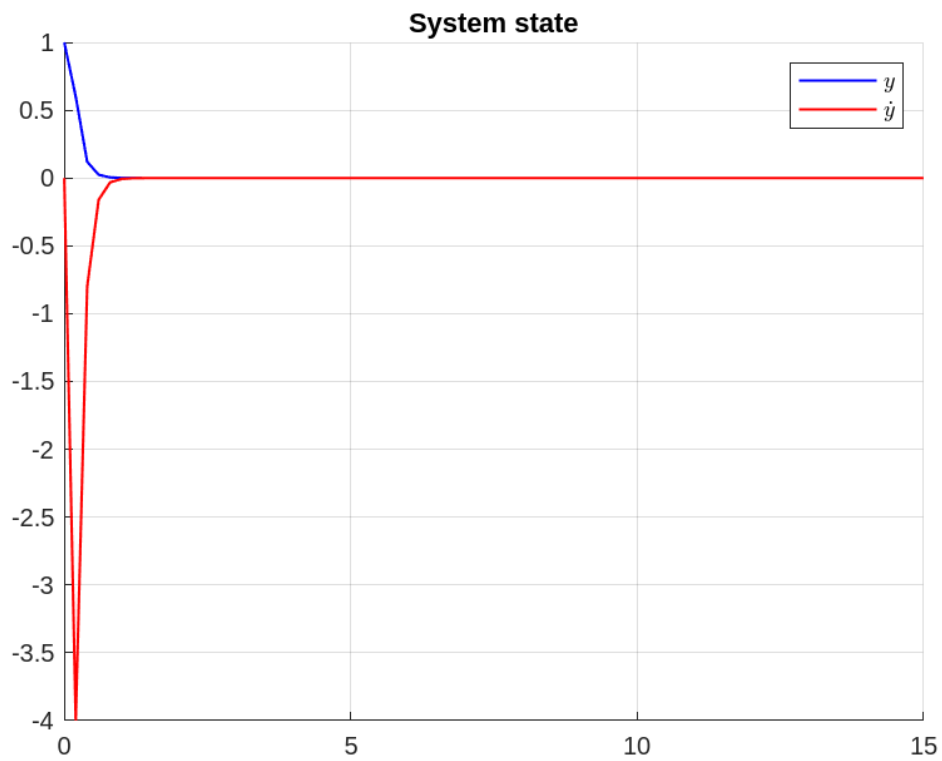


Рис. 10. Результат моделирования замкнутой системы ( $z_1 = 0.2, z_2 = 0$ ).

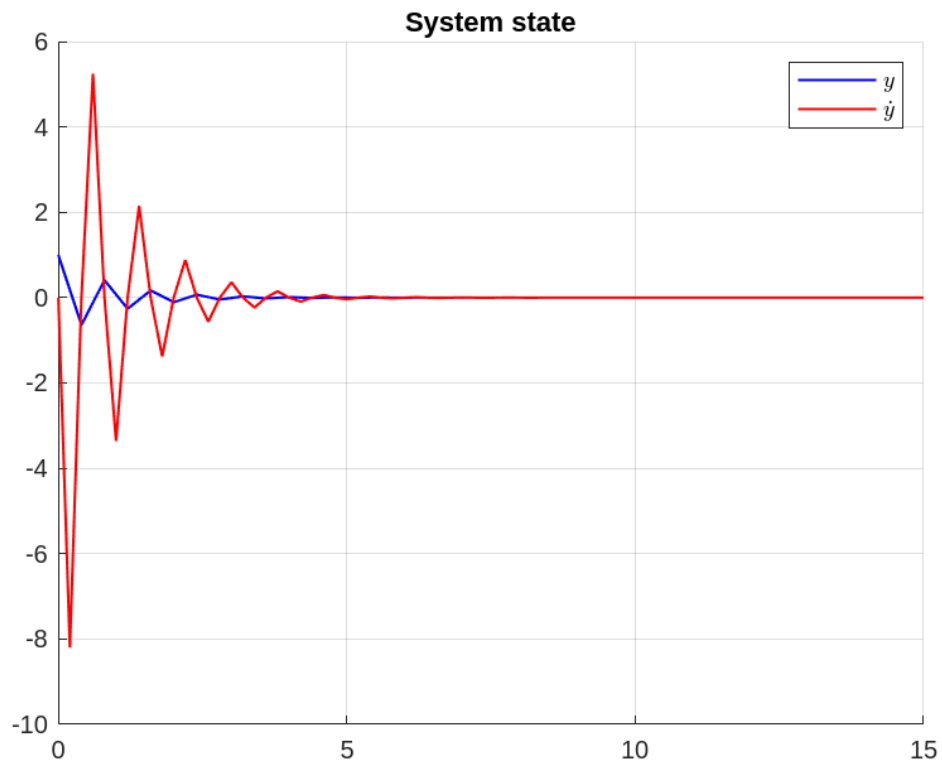


Рис. 11. Результат моделирования замкнутой системы ( $z_1 = 0.8i, z_2 = -0.8i$ ).

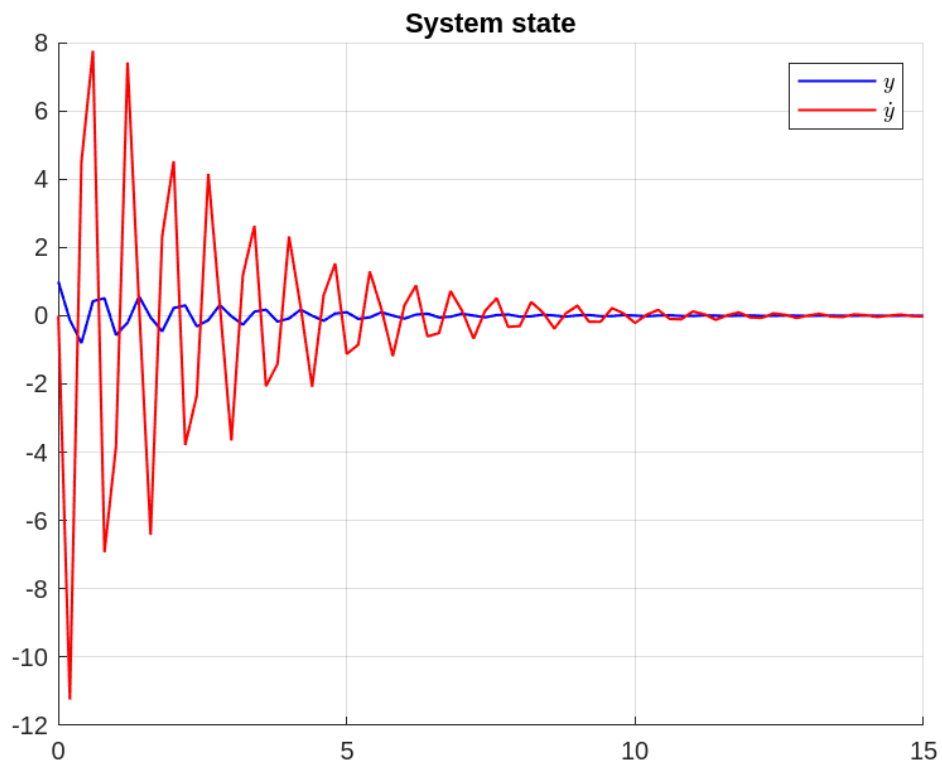


Рис. 12. Результат моделирования замкнутой системы ( $z_1 = -0.2 + 0.9i, z_2 = -0.2 - 0.9i$ ).

## Построение дискретных командных генераторов

Синтез требуемых командных генераторов приведен в качестве примеров в теоретической части (9 и 13). Построим схему для моделирования:

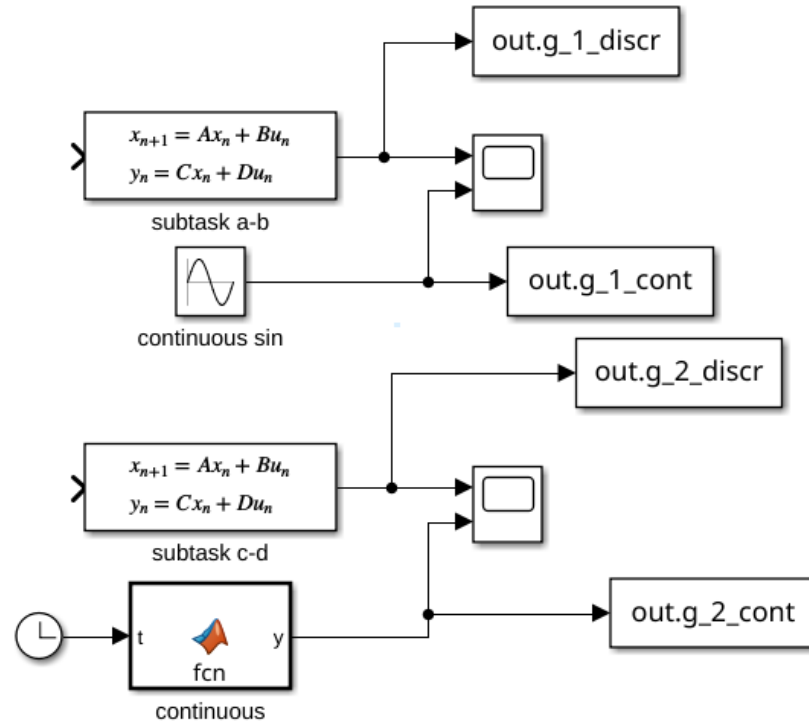


Рис. 13. Схема 3.

Проведем моделирование, сравнив сигнал с непрерывным аналогом:

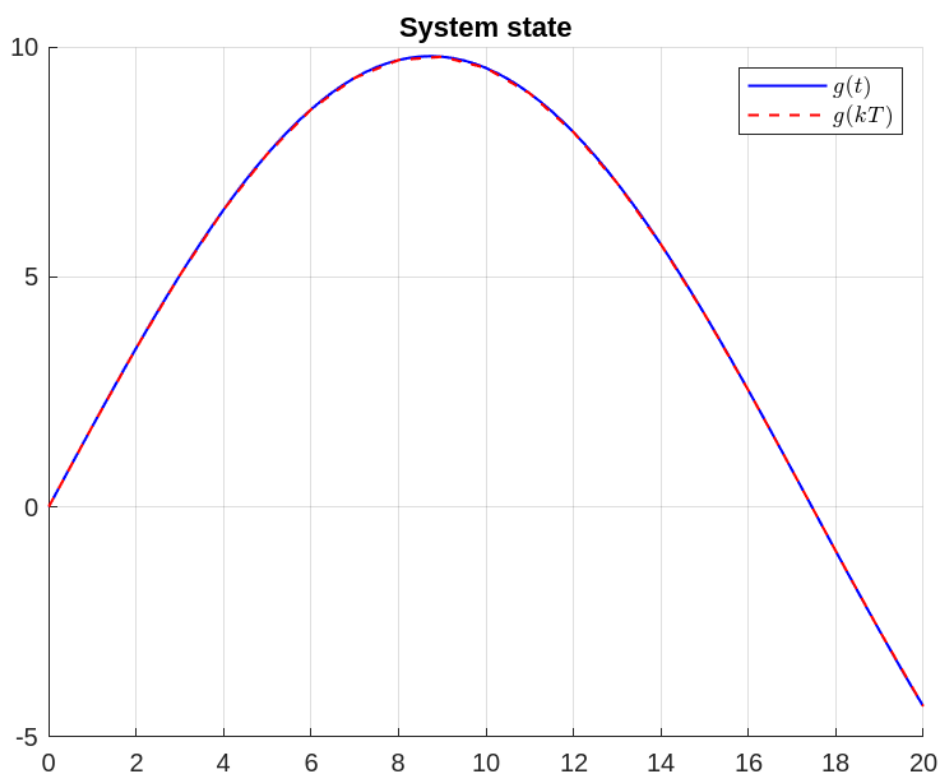


Рис. 14. Командный генератор гармонического сигнала 5.

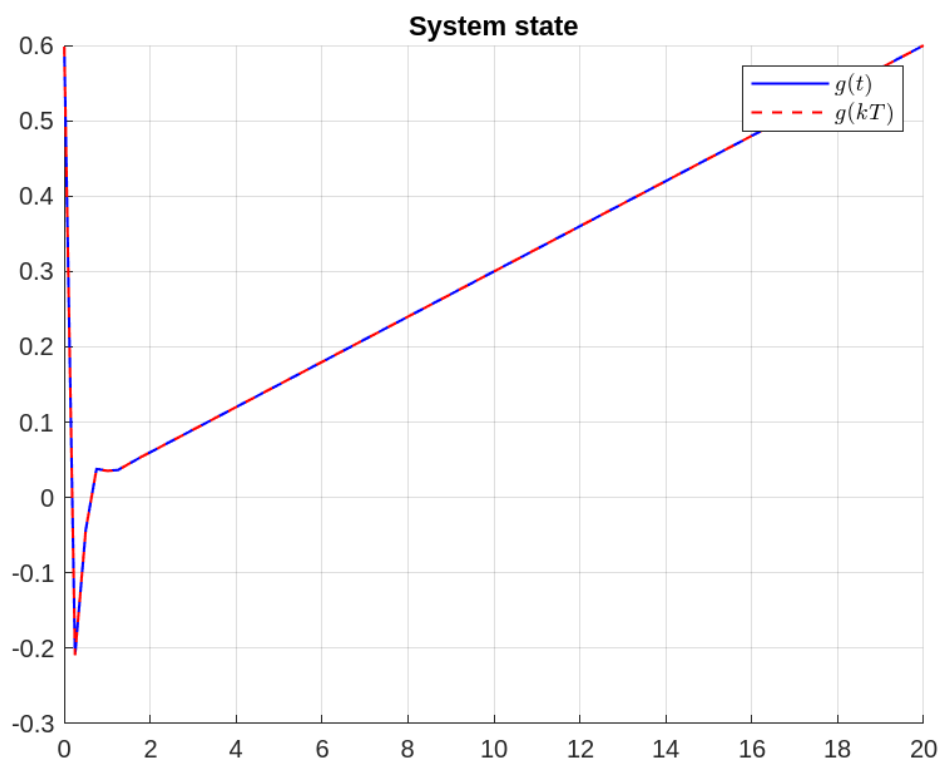


Рис. 15. Командный генератор сигнала 11.

## Выводы

В ходе выполнения работы ознакомились с принципом синтеза дискретных систем, анализом устойчивости, а также управления ими. Теоретические выкладки, сделанные в соответствующей секции были подтверждены во время проведения экспериментов, что можно наблюдать на графиках моделирования.